

## SUPPLEMENTARY INFORMATION

### Electro-optical $\pi$ -radicals: design advances, applications and future perspectives

Petri Murto<sup>a</sup> and Hugo Bronstein\*<sup>a</sup>

<sup>a</sup> Yusuf Hamied Department of Chemistry, University of Cambridge, Lensfield Road, Cambridge CB2 1EW, United Kingdom

E-mail: [hab60@cam.ac.uk](mailto:hab60@cam.ac.uk)

**Table S1** Optical and electrochemical redox properties of  $\pi$ -radicals. The structures correspond to those shown in the main manuscript (additional structures are shown in Scheme S1 and S2).

Radical	$\lambda_{\text{peak}}$ (nm) <sup>a</sup>	$\varepsilon$ (M <sup>-1</sup> cm <sup>-1</sup> ) <sup>b</sup>	$\lambda_{\text{em}}$ (nm) <sup>c</sup>	$\phi_{\text{em}}$ (%) <sup>d</sup>	$\tau$ (ns) <sup>e</sup>	$t_{1/2}$ (s) <sup>f</sup>	$E_{\text{ox}}$ (V) <sup>g</sup>	$E_{\text{red}}$ (V) <sup>h</sup>	Ref.	Notes
TTM	542 <sup>i</sup> 540 <sup>ii</sup>	690 <sup>ii</sup>	570 <sup>i</sup> 565 <sup>ii</sup> 76 <sup>iii</sup>	2.0 <sup>i</sup> 0.8 <sup>ii</sup> 76 <sup>iii</sup>	7.0 <sup>i</sup> 6.5 <sup>ii</sup>	224 <sup>i</sup> 57 <sup>ii</sup>	+1.08 <sup>iv</sup> +0.80 <sup>i, v</sup>	-0.83 <sup>iv</sup> -0.99 <sup>i, v</sup>	1-4	<sup>i</sup> CH <sub>2</sub> Cl <sub>2</sub> ; <sup>ii</sup> Cy; <sup>iii</sup> EPA, 77 K; <sup>iv</sup> Ag/Ag <sup>+</sup> , CH <sub>2</sub> Cl <sub>2</sub> /DMF; <sup>v</sup> Fc/Fc <sup>+</sup> .
PTM	564 <sup>i</sup> 565 <sup>ii</sup>	760 <sup>i</sup> 910 <sup>ii</sup>	605 <sup>i</sup> 604 <sup>ii</sup>	1.5 <sup>i</sup> 1.6 <sup>ii</sup>	7 <sup>i</sup> 6.1 <sup>ii</sup>	47 <sup>ii</sup>	+1.57 <sup>iii</sup>	-0.46 <sup>iii</sup>	2,4,5	<sup>i</sup> CCl <sub>4</sub> ; <sup>ii</sup> Cy; <sup>iii</sup> Ag/Ag <sup>+</sup> , CH <sub>2</sub> Cl <sub>2</sub> /DMF.
3I-PTM	400 <sup>i</sup>	--	611 <sup>i</sup>	91 <sup>i</sup>	69 <sup>i</sup>	$3.2 \times 10^7$ <sup>i, ii</sup> 396 <sup>iii</sup>	--	-0.34 <sup>iv</sup>	6	<sup>i</sup> solid, $\leq 0.01\%$ in aH-3I-PTM; <sup>ii</sup> extrapolated; <sup>iii</sup> THF; <sup>iv</sup> Fc/Fc <sup>+</sup> , THF.
PyBTM	541 <sup>i</sup>	1 010 <sup>i</sup>	585 <sup>i</sup> 674 <sup>ii</sup> 563 <sup>ii, iii</sup>	2.2 <sup>i</sup> 81 <sup>iv</sup>	6.4 <sup>i</sup> 19 <sup>ii, v</sup> 24 <sup>ii, iii, v</sup>	$1.3 \times 10^4$ <sup>i</sup>	+1.04 <sup>i, vi</sup>	-0.74 <sup>i, vi</sup>	1,7,8	<sup>i</sup> CH <sub>2</sub> Cl <sub>2</sub> ; <sup>ii</sup> solid, 10% in aH-PyBTM, 4.2 K; <sup>iii</sup> 14.5 T; <sup>iv</sup> EPA, 77 K; <sup>v</sup> at 563 nm; <sup>vi</sup> Fc/Fc <sup>+</sup> .
[(C <sub>6</sub> F <sub>5</sub> ) <sub>3</sub> BN-PyBTM]	575 <sup>i</sup>	--	660 <sup>i</sup>	3 <sup>i</sup>	5.5 <sup>i</sup>	--	--	-0.14 <sup>i, ii</sup>	7	<sup>i</sup> CH <sub>2</sub> Cl <sub>2</sub> ; <sup>ii</sup> Fc/Fc <sup>+</sup> .
bisPyTM	536 <sup>i</sup>	$\leq 1\ 000$ <sup>ii</sup>	650 <sup>i</sup> 712 <sup>iii</sup>	0.9 <sup>i</sup>	3.6 <sup>i</sup>	$6.7 \times 10^3$ <sup>i</sup>	--	-0.57 <sup>i, iv</sup>	3	<sup>i</sup> CH <sub>2</sub> Cl <sub>2</sub> ; <sup>ii</sup> estimated from graph; <sup>iii</sup> solid, 77 K; <sup>iv</sup> Fc/Fc <sup>+</sup> .
trisPyM	518 <sup>i</sup>	933 <sup>i</sup>	700 <sup>i</sup> 665 <sup>ii</sup>	0.9 <sup>i</sup> 3.4 <sup>ii</sup>	3.0 <sup>i</sup> 20.0 <sup>ii</sup>	$2.2 \times 10^4$ <sup>i</sup>	--	-0.42 <sup>i, iii</sup>	9	<sup>i</sup> CH <sub>2</sub> Cl <sub>2</sub> ; <sup>ii</sup> solid, 79 K; <sup>iii</sup> Fc/Fc <sup>+</sup> .
trisZn	--	--	695 <sup>i</sup>	2.0 <sup>i</sup>	6.6 <sup>i</sup> 9.3 <sup>ii</sup> 8.9 <sup>ii, iii</sup>	--	--	--	9,10	<sup>i</sup> solid, 79 K; <sup>ii</sup> solid, 4.2 K; <sup>iii</sup> 15 T.
bisZn	--	--	-- <sup>i</sup> 626 <sup>ii, iii</sup>	<0.1 <sup>i</sup>	-- <sup>i</sup> 0.4 <sup>ii</sup> 3.5 <sup>ii, iii</sup>	--	--	--	10	<sup>i</sup> solid, 79 K; <sup>ii</sup> solid, 4.2 K; <sup>iii</sup> 15 T.
<b>D-A type</b>										
CzBTM	554 <sup>i</sup>	3 060 <sup>i</sup>	697 <sup>i</sup>	2.0 <sup>i</sup> 5.0 <sup>ii</sup>	4.0 <sup>i</sup>	$8.6 \times 10^3$ <sup>i</sup>	-0.06 <sup>iii</sup> -0.09 <sup>iv</sup>	-0.92 <sup>iii</sup> -1.03 <sup>iv</sup>	11,12	<sup>i</sup> Cy; <sup>ii</sup> solid, 5% in CBP; <sup>iii</sup> Fc/Fc <sup>+</sup> , DMF; <sup>iv</sup> Ag/Ag <sup>+</sup> , CH <sub>2</sub> Cl <sub>2</sub> .
PyID-BTM	550 <sup>i</sup>	5 290 <sup>i</sup>	664 <sup>i</sup>	19.5 <sup>i</sup> 13.7 <sup>ii</sup>	12.8 <sup>i</sup>	$4.0 \times 10^3$ <sup>i</sup>	+0.03 <sup>iii</sup>	-1.09 <sup>iii</sup>	12	<sup>i</sup> Cy; <sup>ii</sup> solid, 2.5% in CBP; <sup>iii</sup> Ag/Ag <sup>+</sup> , CH <sub>2</sub> Cl <sub>2</sub> .
TTM-1Cz	603 <sup>i</sup> 600 <sup>ii</sup>	3 780 <sup>i</sup>	628 <sup>i</sup> 687 <sup>ii</sup>	53 <sup>i</sup> 5 <sup>ii</sup>	41.3 <sup>i</sup> 13.2 <sup>ii</sup>	--	+0.57 <sup>iii</sup>	-0.98 <sup>iii</sup>	13-15	<sup>i</sup> Cy; <sup>ii</sup> CHCl <sub>3</sub> ; <sup>iii</sup> Fc/Fc <sup>+</sup> (-0.46 V, SCE), CH <sub>2</sub> Cl <sub>2</sub> .
TTM-2Cz	609 <sup>i</sup> 607 <sup>ii</sup>	5 130 <sup>i</sup>	680 <sup>i</sup> 651 <sup>ii</sup>	10 <sup>i</sup> 54 <sup>ii</sup>	--	--	+0.50 <sup>iii</sup>	-0.99 <sup>iii</sup>	16	<sup>i</sup> CHCl <sub>3</sub> ; <sup>ii</sup> Cy <sup>iii</sup> Fc/Fc <sup>+</sup> (-0.46 V, SCE), CH <sub>2</sub> Cl <sub>2</sub> .
TTM-3Cz	614 <sup>i</sup> 611 <sup>ii</sup>	7 000 <sup>i</sup>	680 <sup>i</sup> 654 <sup>ii</sup>	7 <sup>i</sup> 52 <sup>ii</sup>	--	--	+0.44 <sup>iii</sup>	-0.98 <sup>iii</sup>	16	<sup>i</sup> CHCl <sub>3</sub> ; <sup>ii</sup> Cy <sup>iii</sup> Fc/Fc <sup>+</sup> (-0.46 V, SCE), CH <sub>2</sub> Cl <sub>2</sub> .
TTM-1BiCz	601 <sup>i</sup>	--	671 <sup>i</sup>	17 <sup>i</sup>	9.9 <sup>i</sup>	$6.2 \times 10^4$ <sup>i</sup>	--	--	17	<sup>i</sup> Cy.
TTM-2BiCz	617 <sup>i</sup>	--	681 <sup>i</sup>	11 <sup>i</sup>	7.1 <sup>i</sup>	$3.1 \times 10^4$ <sup>i</sup>	--	--	17	<sup>i</sup> Cy.
TTM-TCz	612 <sup>i</sup>	--	689 <sup>i</sup>	26 <sup>i</sup>	17.2 <sup>i</sup>	$8.2 \times 10^4$ <sup>i</sup>	--	--	17	<sup>i</sup> Cy.
TTM- $\alpha$ PyID	575 <sup>i</sup> 579 <sup>ii</sup>	--	599 <sup>i</sup> 622 <sup>ii</sup>	63 <sup>i</sup> 91 <sup>ii</sup>	40.9 <sup>i</sup> 38.8 <sup>ii</sup>	$1.2 \times 10^4$ <sup>ii</sup>	+0.44 <sup>iii</sup>	-0.97 <sup>iii</sup>	15	<sup>i</sup> Cy; <sup>ii</sup> CHCl <sub>3</sub> ; <sup>iii</sup> Fc/Fc <sup>+</sup> , CH <sub>2</sub> Cl <sub>2</sub> .
TTM- $\beta$ PyID	582 <sup>i</sup> 581 <sup>ii</sup>	--	610 <sup>i</sup> 637 <sup>ii</sup>	98 <sup>i</sup> 89 <sup>ii</sup>	43.6 <sup>i</sup> 36.1 <sup>ii</sup>	$7.9 \times 10^5$ <sup>ii</sup>	+0.47 <sup>iii</sup>	-0.93 <sup>iii</sup>	15	<sup>i</sup> Cy; <sup>ii</sup> CHCl <sub>3</sub> ; <sup>iii</sup> Fc/Fc <sup>+</sup> , CH <sub>2</sub> Cl <sub>2</sub> .
TTM- $\gamma$ PyID	585 <sup>i</sup> 590 <sup>ii</sup>	--	598 <sup>i</sup> 611 <sup>ii</sup>	37 <sup>i</sup> 32 <sup>ii</sup>	36.8 <sup>i</sup> 37.6 <sup>ii</sup>	$9.5 \times 10^2$ <sup>ii</sup>	+0.55 <sup>iii</sup>	-0.92 <sup>iii</sup>	15	<sup>i</sup> Cy; <sup>ii</sup> CHCl <sub>3</sub> ; <sup>iii</sup> Fc/Fc <sup>+</sup> , CH <sub>2</sub> Cl <sub>2</sub> .
TTM- $\delta$ PyID	585 <sup>i</sup> 581 <sup>ii</sup>	--	614 <sup>i</sup> 643 <sup>ii</sup>	89 <sup>i</sup> 99 <sup>ii</sup>	42.7 <sup>i</sup> 35.1 <sup>ii</sup>	$9.1 \times 10^5$ <sup>ii</sup>	+0.50 <sup>iii</sup>	-0.92 <sup>iii</sup>	15	<sup>i</sup> Cy; <sup>ii</sup> CHCl <sub>3</sub> ; <sup>iii</sup> Fc/Fc <sup>+</sup> , CH <sub>2</sub> Cl <sub>2</sub> .
TTM-3PCz	593 <sup>i</sup>	3 250 <sup>i</sup>	664 <sup>i</sup>	29 <sup>i</sup> 46 <sup>ii</sup> 60 <sup>iii</sup>	15.9 <sup>i</sup> 21.2 <sup>ii</sup>	--	+0.43 <sup>iv</sup>	-1.10 <sup>iv</sup>	2,18	<sup>i</sup> Cy; <sup>ii</sup> Tol; <sup>iii</sup> solid, 3% in CBP; <sup>iv</sup> Fc/Fc <sup>+</sup> , CH <sub>2</sub> Cl <sub>2</sub> .

TTM-3NCz	592 <sup>i</sup> 616 <sup>ii</sup>	--	667 <sup>i</sup> 707 <sup>iii</sup>	29 <sup>i</sup> 49 <sup>ii</sup> 86 <sup>iii</sup>	15.9 <sup>i</sup> 17.2 <sup>ii</sup>	$\geq 1.0 \times 10^4$ <sup>i, iv</sup>	+0.71 <sup>v</sup> +0.43 <sup>vi</sup>	-0.86 <sup>v</sup> -1.09 <sup>vi</sup>	4,18	<sup>i</sup> Cy; <sup>ii</sup> Tol; <sup>iii</sup> solid, 3% in CBP; <sup>iv</sup> estimated from graph; <sup>v</sup> Ag/Ag <sup>+</sup> , CH <sub>2</sub> Cl <sub>2</sub> /DMF; <sup>vi</sup> Fc/Fc <sup>+</sup> , CH <sub>2</sub> Cl <sub>2</sub> .
TTM-PPTA	549 <sup>i</sup>	--	775 <sup>i</sup>	2 <sup>i</sup>	6.8 <sup>i</sup>	$\geq 3.5 \times 10^3$ <sup>i, ii</sup>	+0.57 <sup>iii</sup>	-0.84 <sup>iii</sup>	4	<sup>i</sup> Cy; <sup>ii</sup> estimated from graph; <sup>iii</sup> Ag/Ag <sup>+</sup> , CH <sub>2</sub> Cl <sub>2</sub> /DMF.
PTM-3NCz	607 <sup>i</sup>	--	680 <sup>i</sup>	54 <sup>i</sup>	26.3 <sup>i</sup>	$9.1 \times 10^6$ <sup>i</sup>	+1.24 <sup>ii</sup>	-0.58 <sup>ii</sup>	4	<sup>i</sup> Cy; <sup>ii</sup> Ag/Ag <sup>+</sup> , CH <sub>2</sub> Cl <sub>2</sub> /DMF.
PTM-PCz	566 <sup>i</sup>	1 750 <sup>i</sup>	673 <sup>i</sup>	44 <sup>i</sup>	26.7 <sup>i</sup>	$2.4 \times 10^3$ <sup>i</sup>	--	--	2,4	<sup>i</sup> Cy.
PTM-3PCz	606 <sup>i</sup>	2 680 <sup>i</sup>	679 <sup>i</sup>	57 <sup>i</sup>	26.3 <sup>i</sup>	$8.7 \times 10^3$ <sup>i</sup>	--	--	2,4	<sup>i</sup> Cy.
PTM-TPA	680 <sup>i</sup>	1 960	767 <sup>i</sup>	26 <sup>i</sup>	15.3 <sup>i</sup>	$3.2 \times 10^5$ <sup>i</sup>	--	--	2	<sup>i</sup> Cy.
PTM-TPA"	787 <sup>i</sup>	1 300 <sup>i</sup>	--	--	--	--	+0.31 <sup>ii</sup>	-0.65 <sup>ii</sup>	19,20	<sup>i</sup> Cy; <sup>ii</sup> Fc/Fc <sup>+</sup> , CH <sub>2</sub> Cl <sub>2</sub> .
PTM-PDCz	562 <sup>i</sup>	--	664 <sup>i</sup>	15 <sup>i</sup>	142.0 <sup>i</sup>	$\geq 3.5 \times 10^3$ <sup>i, ii</sup>	+1.26 <sup>iii</sup>	-0.50 <sup>iii</sup>	4	<sup>i</sup> Cy; <sup>ii</sup> estimated from graph; <sup>iii</sup> Ag/Ag <sup>+</sup> , CH <sub>2</sub> Cl <sub>2</sub> /DMF.
TPAN-PTM	973 <sup>i</sup>	3 200 <sup>i</sup>	--	--	--	--	-0.21 <sup>i, ii</sup>	-0.73 <sup>i, ii</sup>	21	<sup>i</sup> CH <sub>2</sub> Cl <sub>2</sub> ; <sup>ii</sup> Fc/Fc <sup>+</sup> .
TOTA-PTM	819 <sup>i</sup>	1 600 <sup>i</sup>	--	--	--	--	+0.12 <sup>i, ii</sup>	-0.71 <sup>i, ii</sup>	21	<sup>i</sup> CH <sub>2</sub> Cl <sub>2</sub> ; <sup>ii</sup> Fc/Fc <sup>+</sup> .
PyPBTM	567 <sup>i</sup>	$\leq 2\ 000$ <sup>i, ii</sup>	650 <sup>i</sup> 644 <sup>iii</sup>	8.6 <sup>i</sup> 22 <sup>iii</sup>	12.0 <sup>i</sup> 21.5 <sup>iii</sup>	$1.9 \times 10^4$ <sup>iv</sup>	+0.73 <sup>iv, v</sup>	-0.84 <sup>iv, v</sup>	22	<sup>i</sup> CHCl <sub>3</sub> ; <sup>ii</sup> estimated from graph; <sup>iii</sup> EPA, 77 K; <sup>iv</sup> CH <sub>2</sub> Cl <sub>2</sub> ; <sup>v</sup> Fc/Fc <sup>+</sup> .
PyNBTM	618 <sup>i</sup>	$\leq 4\ 000$ <sup>i, ii</sup>	735 <sup>i</sup> 714 <sup>iii</sup>	6.4 <sup>i</sup> 16 <sup>iii</sup>	3.9 <sup>i</sup> 7.8 <sup>iii</sup>	$2.3 \times 10^4$ <sup>iv</sup>	+0.57 <sup>iv, v</sup>	-0.86 <sup>iv, v</sup>	22	<sup>i</sup> CHCl <sub>3</sub> ; <sup>ii</sup> estimated from graph; <sup>iii</sup> EPA, 77 K; <sup>iv</sup> CH <sub>2</sub> Cl <sub>2</sub> ; <sup>v</sup> Fc/Fc <sup>+</sup> .
PyPhBTM	585 <sup>i</sup>	$\leq 2\ 000$ <sup>i, ii</sup>	729 <sup>i</sup> 688 <sup>iii</sup>	0.9 <sup>i</sup> 7 <sup>iii</sup>	0.8 <sup>i</sup> 5.6 <sup>iii</sup>	$2.6 \times 10^5$ <sup>iv</sup>	+0.76 <sup>iv, v</sup>	-0.84 <sup>iv, v</sup>	22	<sup>i</sup> CHCl <sub>3</sub> ; <sup>ii</sup> estimated from graph; <sup>iii</sup> EPA, 77 K; <sup>iv</sup> CH <sub>2</sub> Cl <sub>2</sub> ; <sup>v</sup> Fc/Fc <sup>+</sup> .
TPA-R <sup>•</sup>	710 <sup>i</sup>	1 440 <sup>i</sup>	910 <sup>i</sup>	0.1 <sup>i</sup>	0.13 <sup>i</sup>	$\geq 9.0 \times 10^2$ <sup>i, ii</sup>	+0.38 <sup>iii</sup>	-0.69 <sup>iii</sup>	23	<sup>i</sup> Cy; <sup>ii</sup> estimated from graph; <sup>iii</sup> Fc/Fc <sup>+</sup> , CH <sub>2</sub> Cl <sub>2</sub> .
TPA-[RH] <sup>++</sup>	700–1400 <sup>i, ii</sup>	--	--	--	--	--	+0.44 <sup>iii</sup>	+0.17 <sup>iii</sup>	23	<sup>i</sup> Cy; <sup>ii</sup> estimated from graph; <sup>iii</sup> Fc/Fc <sup>+</sup> , CH <sub>2</sub> Cl <sub>2</sub> .
<b>S1</b>	577 <sup>i</sup> 567 <sup>ii</sup>	--	611 <sup>i</sup> 594 <sup>ii</sup>	41 <sup>i</sup>	35.7 <sup>i</sup>	$1.7 \times 10^3$ <sup>i</sup>	--	--	24	<sup>i</sup> Tol; <sup>ii</sup> Cy.
<b>S2</b>	587 <sup>i</sup> 577 <sup>ii</sup>	--	629 <sup>i</sup> 610 <sup>ii</sup>	87 <sup>i</sup>	33.8 <sup>i</sup>	$2.9 \times 10^3$ <sup>i</sup>	--	--	24	<sup>i</sup> Tol; <sup>ii</sup> Cy.
<b>S3</b>	592 <sup>i</sup> 580 <sup>ii</sup>	--	632 <sup>i</sup> 616 <sup>ii</sup>	84 <sup>i</sup>	32.7 <sup>i</sup>	$5.9 \times 10^3$ <sup>i</sup>	--	--	24	<sup>i</sup> Tol; <sup>ii</sup> Cy.
<b>S4</b>	575 <sup>i</sup>	1 300 <sup>i</sup>	725 <sup>i</sup>	37 <sup>i</sup>	4.9 <sup>i</sup>	--	--	--	20	<sup>i</sup> Cy.
<b>S5</b>	833 <sup>i, ii</sup>	$\leq 10\ 000$ <sup>i, iii</sup>	847 <sup>i</sup>	2.8 <sup>i</sup>	1.9 <sup>i</sup>	--	+0.20 <sup>iv</sup>	-0.95 <sup>iv</sup>	25	<sup>i</sup> Cy; <sup>ii</sup> onset of absorption; <sup>iii</sup> estimated from graph; <sup>iv</sup> Fc/Fc <sup>+</sup> , CH <sub>2</sub> Cl <sub>2</sub> .
<b>S6</b>	787 <sup>i, ii</sup>	$\geq 10\ 000$ <sup>i, iii</sup>	775 <sup>i</sup>	6.0 <sup>i</sup>	6.5 <sup>i</sup>	--	+0.30 <sup>iv</sup>	-0.94 <sup>iv</sup>	25	<sup>i</sup> Cy; <sup>ii</sup> onset of absorption; <sup>iii</sup> estimated from graph; <sup>iv</sup> Fc/Fc <sup>+</sup> , CH <sub>2</sub> Cl <sub>2</sub> .
<b>S7</b>	752 <sup>i, ii</sup>	$\leq 20\ 000$ <sup>i, iii</sup>	730 <sup>i</sup>	6.1 <sup>i</sup>	5.8 <sup>i</sup>	--	+0.41 <sup>iv</sup>	-0.89 <sup>iv</sup>	25	<sup>i</sup> Cy; <sup>ii</sup> onset of absorption; <sup>iii</sup> estimated from graph; <sup>iv</sup> Fc/Fc <sup>+</sup> , CH <sub>2</sub> Cl <sub>2</sub> .
<b>S8</b>	538 <sup>i</sup>	682 <sup>i</sup>	571 <sup>i</sup> 785 <sup>iii</sup>	1.7 <sup>i</sup> 41 <sup>i, ii</sup> 1.0 <sup>iii</sup>	5.4 <sup>i</sup> 105 <sup>i</sup> 20.2 <sup>iii</sup>	34 <sup>i</sup>	--	-0.93 <sup>i, iv</sup>	26	<sup>i</sup> CH <sub>2</sub> Cl <sub>2</sub> ; <sup>ii</sup> 210 K; <sup>iii</sup> solid crystal; <sup>iv</sup> Fc/Fc <sup>+</sup> .
<b>S9</b>	400–590 <sup>i, ii</sup>	$\leq 1\ 000$ <sup>i, ii</sup>	$\geq 705$ <sup>i, ii</sup>	0.1 <sup>i</sup> 3 <sup>iii</sup>	0.6 <sup>i</sup>	$3.1 \times 10^4$ <sup>i</sup>	--	--	27	<sup>i</sup> Cy; <sup>ii</sup> estimated from graph; <sup>iii</sup> EPA, 77 K.
<b>S10</b>	400–590 <sup>i, ii</sup>	$\leq 1\ 000$ <sup>i, ii</sup>	$\geq 675$ <sup>i, ii</sup>	0.1 <sup>i</sup> 5 <sup>iii</sup>	0.25 <sup>i</sup>	$6.3 \times 10^3$ <sup>i</sup>	--	--	27	<sup>i</sup> Cy; <sup>ii</sup> estimated from graph; <sup>iii</sup> EPA, 77 K.

<b>S11</b>	600 <sup>i</sup>	3 200 <sup>i</sup>	--	--	--	--	--	-0.69 <sup>i,ii</sup>	<sup>28</sup>	<sup>i</sup> CH <sub>2</sub> Cl <sub>2</sub> ; <sup>ii</sup> Fc/Fc <sup>+</sup> (-0.46 V, SCE).
<b>S12</b>	573 <sup>i</sup>	3 100 <sup>i</sup>	--	--	--	--	--	-0.69 <sup>i,ii</sup>	<sup>28</sup>	<sup>i</sup> CH <sub>2</sub> Cl <sub>2</sub> ; <sup>ii</sup> Fc/Fc <sup>+</sup> .
<b>S13</b>	567 <sup>i</sup>	1 500 <sup>i</sup>	--	--	--	--	--	-0.78 <sup>i,ii</sup>	<sup>28</sup>	<sup>i</sup> CH <sub>2</sub> Cl <sub>2</sub> ; <sup>ii</sup> Fc/Fc <sup>+</sup> .
<b>Non-chlorinated</b>										
<b>1</b>	1020 <sup>i</sup>	≥200 <sup>i,ii</sup>	--	--	--	--	-0.19 <sup>i,iii</sup>	-1.48 <sup>i,iii</sup>	<sup>29</sup>	<sup>i</sup> CH <sub>2</sub> Cl <sub>2</sub> , RT; <sup>ii</sup> estimated from graph; <sup>iii</sup> Fc/Fc <sup>+</sup> .
<b>2</b>	395 <sup>i</sup>	520 <sup>i</sup>	--	--	--	--	+0.40 <sup>ii</sup>	-1.34 <sup>ii</sup>	<sup>30</sup>	<sup>i</sup> Hex, vacuum; <sup>ii</sup> Fc/Fc <sup>+</sup> , CH <sub>2</sub> Cl <sub>2</sub> , 195 K.
BDPA	859 <sup>i</sup>	1 580 <sup>i</sup>	-- <sup>i,ii</sup>	--	--	--	+0.21 <sup>i,iii</sup>	-1.05 <sup>i,iii</sup>	<sup>31</sup>	<sup>i</sup> CH <sub>2</sub> Cl <sub>2</sub> ; <sup>ii</sup> RT or 77 K; <sup>iii</sup> Fc/Fc <sup>+</sup> (-0.46 V, SCE).
<b>8</b>	626 <sup>i</sup>	2 720 <sup>i</sup>	--	--	--	--	+0.27 <sup>i,ii</sup>	-1.01 <sup>i,ii</sup>	<sup>32</sup>	<sup>i</sup> CH <sub>2</sub> Cl <sub>2</sub> ; <sup>ii</sup> Fc/Fc <sup>+</sup> .
<b>9</b>	1220 <sup>i</sup>	100 <sup>i</sup>	--	--	--	--	+0.37 <sup>i,ii</sup>	-0.90 <sup>i,ii</sup>	<sup>33</sup>	<sup>i</sup> CH <sub>2</sub> Cl <sub>2</sub> ; <sup>ii</sup> Fc/Fc <sup>+</sup> .
<b>10</b>	669 <sup>i</sup>	2 100 <sup>i</sup>	--	--	--	--	+0.13 <sup>i,ii</sup>	-1.23 <sup>i,ii</sup>	<sup>33</sup>	<sup>i</sup> CH <sub>2</sub> Cl <sub>2</sub> ; <sup>ii</sup> Fc/Fc <sup>+</sup> .
<b>11</b>	>1000 <sup>i,ii</sup> 794 <sup>i,iii</sup>	10 000 <sup>i,iii</sup>	--	--	--	--	+0.29 <sup>i,iv</sup>	-0.82 <sup>i,iv</sup>	<sup>33</sup>	<sup>i</sup> CH <sub>2</sub> Cl <sub>2</sub> ; <sup>ii</sup> weak, estimated from graph; <sup>iii</sup> second-lowest energy absorption; <sup>iv</sup> Fc/Fc <sup>+</sup> .
<b>12</b>	824 <sup>i</sup>	≥30 000 <sup>i,ii</sup>	--	--	--	--	+0.46 <sup>i,iii</sup>	-0.01 <sup>i,iii</sup> -0.24 <sup>i,iii</sup>	<sup>34</sup>	<sup>i</sup> CH <sub>2</sub> Cl <sub>2</sub> ; <sup>ii</sup> estimated from graph; <sup>iii</sup> Fc/Fc <sup>+</sup> .
<b>S14</b>	1100 <sup>i</sup>	≤300 <sup>i,ii</sup>	--	--	--	--	-0.15 <sup>i,iii</sup>	-1.35 <sup>i,iii</sup>	<sup>35</sup>	<sup>i</sup> CH <sub>2</sub> Cl <sub>2</sub> , RT; <sup>ii</sup> estimated from graph; <sup>iii</sup> Fc/Fc <sup>+</sup> .
<b>Delocalised</b>										
Phenalenyl	540 <sup>i,ii</sup> 595 <sup>i,iii</sup>	103 <sup>i,ii</sup> 20 000 <sup>i,iii</sup>	--	--	--	--	+0.32 <sup>iv,v</sup>	-1.28 <sup>iv,v</sup>	<sup>36,37</sup>	<sup>i</sup> CH <sub>2</sub> Cl <sub>2</sub> ; <sup>ii</sup> 278 K; <sup>iii</sup> 191 K; <sup>iv</sup> Fc/Fc <sup>+</sup> (-0.38 V, SCE), CH <sub>3</sub> CN; <sup>v</sup> E <sub>ox</sub> and E <sub>red</sub> were obtained from first and second reduction of cation of phenalenyl salt, respectively.
<b>18</b>	595 <sup>i</sup> 613 <sup>ii</sup>	--	--	--	--	--	+0.27 <sup>iii,iv</sup>	-1.26 <sup>iii,iv</sup>	<sup>38-40</sup>	<sup>i</sup> Hex, 200 K; <sup>ii</sup> solid, in KBr; <sup>iii</sup> Fc/Fc <sup>+</sup> , CH <sub>2</sub> Cl <sub>2</sub> ; <sup>iv</sup> E <sub>ox</sub> and E <sub>red</sub> were obtained from first and second reduction of cation of <b>18</b> salt, respectively.
<b>19</b>	642 <sup>i</sup> 650 <sup>ii</sup>	--	--	--	--	--	--	-0.30 <sup>iii,iv</sup>	<sup>41-43</sup>	<sup>i</sup> Hex; <sup>ii</sup> solid, in KBr; <sup>iii</sup> Fc/Fc <sup>+</sup> , CH <sub>3</sub> CN; <sup>iv</sup> obtained from oxidation of anion of <b>19</b> salt.
<b>21</b>	852 <sup>i</sup>	≥200 <sup>i,ii</sup>	--	--	--	--	+0.56 <sup>iii,iv</sup>	+0.09 <sup>iii,iv</sup>	<sup>44</sup>	<sup>i</sup> CH <sub>2</sub> Cl <sub>2</sub> ; <sup>ii</sup> estimated from graph; <sup>iii</sup> Fc/Fc <sup>+</sup> , DMF; <sup>iv</sup> E <sub>red</sub> and E <sub>ox</sub> were obtained from first and second oxidation of anion of <b>21</b> salt, respectively.
TOT	834 <sup>i</sup> 1134 <sup>ii</sup>	≥2 000 <sup>i,iii</sup> ≥9 000 <sup>i,iv</sup>	--	--	--	--	+0.79 <sup>v,vi</sup>	-0.35 <sup>v,vi</sup>	<sup>45,46</sup>	<sup>i</sup> CHCl <sub>3</sub> ; <sup>ii</sup> solid, in KBr; <sup>iii</sup> estimated from graph, 300 K; <sup>iv</sup> estimated from graph, 215 K; <sup>v</sup> Fc/Fc <sup>+</sup> , CH <sub>2</sub> Cl <sub>2</sub> ; <sup>vi</sup> E <sub>red</sub> and E <sub>ox</sub> were obtained from first and second oxidation of anion of TOT salt, respectively.
<b>22</b>	--	--	--	--	--	--	-0.39 <sup>i,ii</sup>	-1.42 <sup>i,ii</sup>	<sup>47</sup>	<sup>i</sup> Fc/Fc <sup>+</sup> , CH <sub>2</sub> Cl <sub>2</sub> ; <sup>ii</sup> E <sub>ox</sub> and E <sub>red</sub> were obtained from first and second reduction of cation of <b>22</b> salt, respectively.

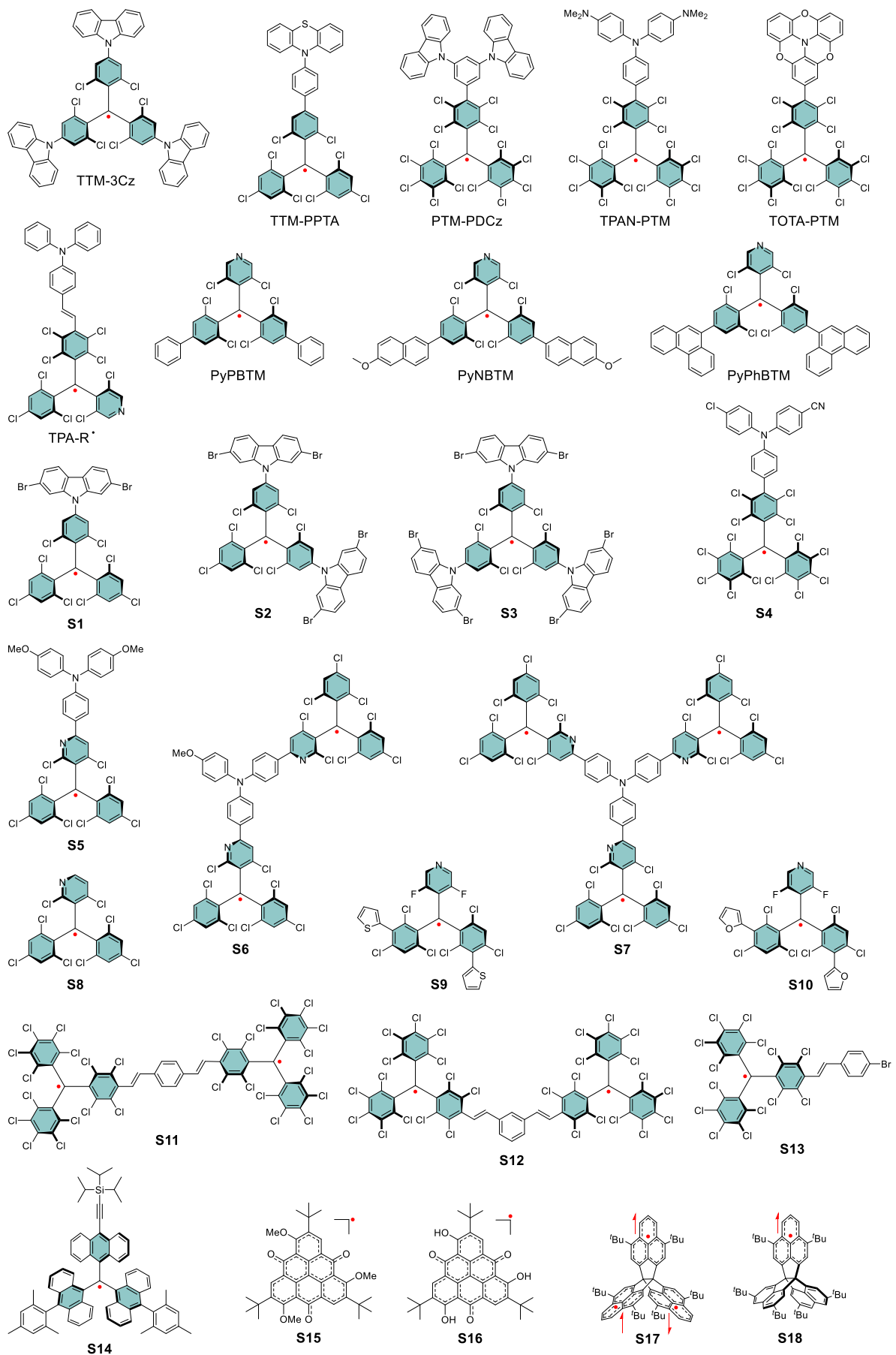
<b>23</b>	1355 <sup>i</sup>	7 910 <sup>i</sup>	--	--	--	--	--	--	--	47	<sup>i</sup> Tol.
<b>S15</b>	848 <sup>i</sup> 876 <sup>ii</sup>	<sup>-i, iii</sup> 9 700 <sup>i, iv</sup>	--	--	--	--	+0.75 <sup>i, v, vi</sup>	-0.33 <sup>i, v, vi</sup>	46	<sup>i</sup> CH <sub>2</sub> Cl <sub>2</sub> ; <sup>ii</sup> solid, in KBr; <sup>iii</sup> 300 K, no peak; <sup>iv</sup> 180 K; <sup>v</sup> Fe/Fc <sup>+</sup> ; <sup>vi</sup> E <sub>red</sub> and E <sub>ox</sub> were obtained from first and second oxidation of anion of <b>S12</b> salt, respectively.	
<b>S16</b>	1416 <sup>i</sup>	--	--	--	--	--	+0.74 <sup>ii, iii</sup>	+0.03 <sup>ii, iii</sup>	46	<sup>i</sup> solid, in KBr; <sup>ii</sup> Fe/Fc <sup>+</sup> , CH <sub>2</sub> Cl <sub>2</sub> ; <sup>iii</sup> E <sub>red</sub> and E <sub>ox</sub> were obtained from first and second oxidation of anion of <b>S13</b> salt, respectively.	
<b>S17</b>	685 <sup>i</sup>	≥4 000 <sup>ii</sup>	--	--	--	--	-0.47 <sup>i, iii</sup>	-1.46 <sup>i, iii</sup>	48	<sup>i</sup> CH <sub>2</sub> Cl <sub>2</sub> ; <sup>ii</sup> estimated from graph; <sup>iii</sup> Fe/Fc <sup>+</sup> .	
<b>S18</b>	--	--	--	--	--	--	-0.35 <sup>i</sup>	-1.74 <sup>i</sup>	48	<sup>i</sup> Fe/Fc <sup>+</sup> , CH <sub>2</sub> Cl <sub>2</sub> .	
<b>Diradicals</b>											
<b>26</b>	690 <sup>i</sup> ≤900 <sup>i, ii</sup>	≥40 000 <sup>i, iii</sup> <sup>-i, ii</sup>	--	--	--	--	+0.17 <sup>i, iv</sup> +0.70 <sup>i, iv</sup>	-1.28 <sup>i, iv</sup> -1.67 <sup>i, iv</sup>	49	<sup>i</sup> CH <sub>2</sub> Cl <sub>2</sub> ; <sup>ii</sup> weak shoulder; <sup>iii</sup> estimated from graph; <sup>iv</sup> Fe/Fc <sup>+</sup> .	
<b>27</b>	537 <sup>i</sup> 730 <sup>i, ii</sup>	15 200 <sup>i</sup> 790 <sup>i, ii</sup>	--	--	--	--	+0.59 <sup>i, iii</sup>	-1.51 <sup>i, iii</sup>	50	<sup>i</sup> CH <sub>2</sub> Cl <sub>2</sub> ; <sup>ii</sup> shoulder; <sup>iii</sup> Fe/Fc <sup>+</sup> .	
<b>28</b>	697 <sup>i</sup> ≤1050 <sup>i, ii</sup>	12 800 <sup>i</sup> <sup>-i, ii</sup>	--	--	--	--	+0.38 <sup>i, iii</sup> +0.77 <sup>i, iii</sup>	-1.22 <sup>i, iii</sup> -1.61 <sup>i, iii</sup>	51	<sup>i</sup> CH <sub>2</sub> Cl <sub>2</sub> ; <sup>ii</sup> weak shoulder; <sup>iii</sup> Fe/Fc <sup>+</sup> .	
<b>29</b>	638 <sup>i</sup> 1700 <sup>i</sup>	≥35 000 <sup>i, ii</sup> ≥700 <sup>i, ii</sup>	--	--	--	--	+0.13 <sup>i, iii</sup> +0.90 <sup>i, iii</sup>	-1.13 <sup>i, iii</sup> -2.03 <sup>i, iii</sup>	52	<sup>i</sup> CH <sub>2</sub> Cl <sub>2</sub> , RT; <sup>ii</sup> estimated from graph; <sup>iii</sup> Fe/Fc <sup>+</sup> .	
<b>30</b>	950 <sup>i, ii</sup>	--	--	--	--	--	+0.33 <sup>i, iii</sup> +0.77 <sup>i, iii</sup>	-0.60 <sup>i, iii</sup> -1.20 <sup>i, iii</sup>	53	<sup>i</sup> CH <sub>2</sub> Cl <sub>2</sub> ; <sup>ii</sup> estimated from graph; <sup>iii</sup> Fe/Fc <sup>+</sup> .	
<b>31</b>	822 <sup>i</sup>	25 860 <sup>i</sup>	--	--	--	--	+0.47 <sup>i, iii</sup> +0.86 <sup>i, iii</sup> +0.87 <sup>i, iii</sup>	-1.36 <sup>i, iii</sup> -1.46 <sup>i, iii</sup> -1.50 <sup>i, iii</sup>	54	<sup>i</sup> CH <sub>2</sub> Cl <sub>2</sub> ; <sup>ii</sup> DMSO; <sup>iii</sup> Fe/Fc <sup>+</sup> .	
	654 <sup>ii</sup>	15 030 <sup>ii</sup>									
<b>36</b>	1130 <sup>i</sup> <sup>-i, ii</sup>	≥7 000 <sup>i, iii</sup>					+0.38 <sup>i, iv</sup> +0.52 <sup>i, iv</sup>	-0.98 <sup>i, iv</sup>	55	<sup>i</sup> CH <sub>2</sub> Cl <sub>2</sub> ; <sup>ii</sup> weak, diradical; <sup>iii</sup> FeCl <sub>3</sub> (2 equiv.), dication of <b>36</b> ; <sup>iv</sup> Fe/Fc <sup>+</sup> .	
<b>37</b>	600 <sup>i</sup> ≤1050 <sup>i, ii</sup>	41 000 <sup>i</sup> <sup>-i, ii</sup>	--	--	--	--	+0.26 <sup>i, iii</sup> +0.66 <sup>i, iii</sup>	-1.13 <sup>i, iii</sup> -1.42 <sup>i, iii</sup>	56	<sup>i</sup> CH <sub>2</sub> Cl <sub>2</sub> ; <sup>ii</sup> weak shoulder; <sup>iii</sup> Fe/Fc <sup>+</sup> .	
<b>38</b>	444 <sup>i, ii</sup> 757 <sup>i, iii</sup>	--	--	--	--	--	+0.27 <sup>i, iii, iv</sup> +0.38 <sup>i, iii, iv</sup> +0.94 <sup>i, ii, iv</sup>	-0.97 <sup>i, iii, iv</sup> -1.08 <sup>i, iii, iv</sup> -1.74 <sup>i, ii, iv</sup>	57	<sup>i</sup> CH <sub>2</sub> Cl <sub>2</sub> ; <sup>ii</sup> folded form; <sup>iii</sup> twisted form; <sup>iv</sup> Fe/Fc <sup>+</sup> .	
<b>S19</b>	629 <sup>i</sup>	58 900 <sup>i</sup>	--	--	--	--	+0.17 <sup>i, ii</sup> +0.65 <sup>i, ii</sup>	-1.50 <sup>i, ii</sup> -1.87 <sup>i, ii</sup>	58	<sup>i</sup> CH <sub>2</sub> Cl <sub>2</sub> ; <sup>ii</sup> Fe/Fc <sup>+</sup> .	
<b>S20</b>	688 <sup>i</sup>	35 600 <sup>i</sup>	--	--	--	--	+0.26 <sup>i, ii</sup> +0.72 <sup>i, ii</sup>	-1.28 <sup>i, ii</sup> -1.79 <sup>i, ii</sup>	58	<sup>i</sup> CH <sub>2</sub> Cl <sub>2</sub> ; <sup>ii</sup> Fe/Fc <sup>+</sup> .	
<b>S21</b>	697 <sup>i</sup>	50 000 <sup>i</sup>	--	--	--	--	+0.18 <sup>i, ii</sup> +0.65 <sup>i, ii</sup>	-1.30 <sup>i, ii</sup> -1.83 <sup>i, ii</sup>	58	<sup>i</sup> CH <sub>2</sub> Cl <sub>2</sub> ; <sup>ii</sup> Fe/Fc <sup>+</sup> .	
<b>S22</b>	738 <sup>i</sup>	40 300 <sup>i</sup>	--	--	--	--	+0.20 <sup>i, ii</sup>	-0.75 <sup>i, ii</sup>	58	<sup>i</sup> CH <sub>2</sub> Cl <sub>2</sub> ; <sup>ii</sup> Fe/Fc <sup>+</sup> .	
<b>S23</b>	600–1000 <sup>i</sup>	--	--	--	--	--	+0.28 <sup>ii</sup>	-1.13 <sup>ii</sup>	59	<sup>i</sup> CH <sub>2</sub> Cl <sub>2</sub> , estimated from graph; <sup>ii</sup> Fe/Fc <sup>+</sup> (-0.46 V, SCE), CH <sub>2</sub> Cl <sub>2</sub> .	
<b>S24</b>	746 <sup>i</sup>	178 000 <sup>i</sup>	--	--	--	--	+0.08 <sup>i, ii</sup>	-1.07 <sup>i, ii</sup>	60	<sup>i</sup> CH <sub>2</sub> Cl <sub>2</sub> ; <sup>ii</sup> Fe/Fc <sup>+</sup> .	
<b>S25</b>	756 <sup>i</sup>	115 000 <sup>i</sup>	--	--	--	--	+0.11 <sup>i, ii</sup> +0.51 <sup>i, ii</sup>	-1.09 <sup>i, ii</sup> -1.62 <sup>i, ii</sup>	61	<sup>i</sup> CH <sub>2</sub> Cl <sub>2</sub> ; <sup>ii</sup> Fe/Fc <sup>+</sup> .	
<b>S26</b>	865 <sup>i</sup>	78 430 <sup>i</sup>	--	--	--	--	-0.13 <sup>ii</sup> +0.26 <sup>ii</sup>	-1.17 <sup>ii</sup> -1.55 <sup>ii</sup>	62	<sup>i</sup> Hex/CH <sub>2</sub> Cl <sub>2</sub> 49:1; <sup>ii</sup> Fe/Fc <sup>+</sup> , CH <sub>2</sub> Cl <sub>2</sub> .	
<b>S27</b>	642 <sup>i, ii</sup> 637 <sup>i, iii</sup>	398 000 <sup>i, ii</sup> ≤10 000 <sup>i, iii, iv</sup>	699 <sup>v</sup>	<1 <sup>v</sup>	--	--	+0.55 <sup>v, vi</sup>	-0.93 <sup>v, vi</sup> -1.92 <sup>v, vi</sup>	63	<sup>i</sup> DMF; <sup>ii</sup> 298 K; <sup>iii</sup> 383 K; <sup>iv</sup> estimated from graph; <sup>v</sup> CH <sub>2</sub> Cl <sub>2</sub> ; <sup>vi</sup> Fe/Fc <sup>+</sup> .	

S29	660–1100 <sup>i, ii</sup>	-- <sup>iii</sup>	--	--	--	--	+0.11 <sup>i, iv</sup> +0.78 <sup>i, iv</sup>	-1.13 <sup>i, iv</sup>	64	<sup>i</sup> CH <sub>2</sub> Cl <sub>2</sub> ; <sup>ii</sup> estimated from graph; <sup>iii</sup> weak; <sup>iv</sup> Fc/Fc <sup>+</sup> .
S30	660–1100 <sup>i, ii</sup>	-- <sup>iii</sup>	--	--	--	--	+0.09 <sup>i, iv</sup> +0.78 <sup>i, iv</sup>	-1.15 <sup>i, iv</sup>	64	<sup>i</sup> CH <sub>2</sub> Cl <sub>2</sub> ; <sup>ii</sup> estimated from graph; <sup>iii</sup> weak; <sup>iv</sup> Fc/Fc <sup>+</sup> .
<b>Polyradicals</b>										
42	820 <sup>i</sup> 794 <sup>ii</sup> 848 <sup>iii</sup>	6 500 <sup>i</sup> 5 600 <sup>ii</sup>	--	--	--	--	+0.34 <sup>ii, iv</sup>	-0.69 <sup>ii, iv</sup>	65	<sup>i</sup> Tol; <sup>ii</sup> CH <sub>2</sub> Cl <sub>2</sub> ; <sup>iii</sup> solid film; <sup>iv</sup> Fc/Fc <sup>+</sup> .
PS-CzTTM	622 <sup>i</sup>	5 430 <sup>i</sup>	660 <sup>i</sup> 694 <sup>ii</sup>	38 <sup>i</sup> 25 <sup>ii</sup>	19.2 <sup>i</sup> 10.1 <sup>ii</sup>	$1.6 \times 10^4$ <sup>i</sup>	+0.41 <sup>iii</sup>	-0.97 <sup>iii</sup>	66	<sup>i</sup> Cy; <sup>ii</sup> solid film, RT; <sup>iii</sup> Fc/Fc <sup>+</sup> , CH <sub>2</sub> Cl <sub>2</sub> .
FR-1	768 <sup>i</sup>	800 <sup>i</sup>	--	--	--	--	+0.12 <sup>ii</sup>	-1.10 <sup>ii</sup>	67	<sup>i</sup> Tol; <sup>ii</sup> Fc/Fc <sup>+</sup> , CH <sub>2</sub> Cl <sub>2</sub> .
FR-2	745 <sup>i</sup>	19 100 <sup>i</sup>	--	--	--	--	+0.17 <sup>ii</sup> +0.31 <sup>ii</sup>	-1.13 <sup>ii</sup> -1.32 <sup>ii</sup>	67	<sup>i</sup> Tol; <sup>ii</sup> Fc/Fc <sup>+</sup> , CH <sub>2</sub> Cl <sub>2</sub> .
FR-3	955 <sup>i</sup>	11 300 <sup>i</sup>	--	--	--	--	+0.05 <sup>ii</sup> +0.32 <sup>ii</sup>	-1.01 <sup>ii</sup> -1.20 <sup>ii</sup>	67	<sup>i</sup> Tol; <sup>ii</sup> Fc/Fc <sup>+</sup> , CH <sub>2</sub> Cl <sub>2</sub> .
FR-4	735 <sup>i</sup>	22 100 <sup>i</sup>	--	--	--	--	+0.13 <sup>ii</sup> +0.45 <sup>ii</sup>	-1.09 <sup>ii</sup> -1.30 <sup>ii</sup>	67	<sup>i</sup> Tol; <sup>ii</sup> Fc/Fc <sup>+</sup> , CH <sub>2</sub> Cl <sub>2</sub> .
FR-5	968 <sup>i</sup>	14 200 <sup>i</sup>	--	--	--	--	+0.00 <sup>ii</sup> +0.16 <sup>ii</sup>	-1.01 <sup>ii</sup> -1.10 <sup>ii</sup>	67	<sup>i</sup> Tol; <sup>ii</sup> Fc/Fc <sup>+</sup> , CH <sub>2</sub> Cl <sub>2</sub> .
FR-6	739 <sup>i</sup>	26 400 <sup>i</sup>	--	--	--	--	+0.02 <sup>ii</sup> +0.15 <sup>ii</sup>	-1.07 <sup>ii</sup> -1.18 <sup>ii</sup>	67	<sup>i</sup> Tol; <sup>ii</sup> Fc/Fc <sup>+</sup> , CH <sub>2</sub> Cl <sub>2</sub> .
FR-MC4	710 <sup>i</sup> 1074 <sup>i, ii</sup>	$\leq 60\ 000$ <sup>i, iii</sup> -- <sup>i, ii</sup>	--	--	--	--	+0.01 <sup>iv</sup> +0.55 <sup>iv</sup>	-1.07 <sup>iv</sup> -1.50 <sup>iv</sup>	68	<sup>i</sup> Tol; <sup>ii</sup> weak shoulder; <sup>iii</sup> estimated from graph; <sup>iv</sup> Fc/Fc <sup>+</sup> , CH <sub>2</sub> Cl <sub>2</sub> .
FR-MC5	750 <sup>i</sup> 966 <sup>i, ii</sup>	$\leq 30\ 000$ <sup>i, iii</sup> -- <sup>i, ii</sup>	--	--	--	--	-0.04 <sup>iv</sup> +0.04 <sup>iv</sup>	-1.01 <sup>iv</sup> -1.19 <sup>iv</sup>	68	<sup>i</sup> Tol; <sup>ii</sup> weak shoulder; <sup>iii</sup> estimated from graph; <sup>iv</sup> Fc/Fc <sup>+</sup> , CH <sub>2</sub> Cl <sub>2</sub> .
FR-MC6	772 <sup>i</sup> 957 <sup>i, ii</sup>	$\geq 20\ 000$ <sup>i, iii</sup> -- <sup>i, ii</sup>	--	--	--	--	+0.03 <sup>iv</sup> +0.12 <sup>iv</sup>	-1.07 <sup>iv</sup> -1.23 <sup>iv</sup>	68	<sup>i</sup> Tol; <sup>ii</sup> weak shoulder; <sup>iii</sup> estimated from graph; <sup>iv</sup> Fc/Fc <sup>+</sup> , CH <sub>2</sub> Cl <sub>2</sub> .
45	1650 <sup>i</sup>	--	--	--	--	--	-0.16 <sup>ii</sup> -0.05 <sup>ii</sup>	-0.99 <sup>ii</sup> -1.05 <sup>ii</sup>	69	<sup>i</sup> CDCl <sub>3</sub> , weak shoulder; <sup>ii</sup> Fc/Fc <sup>+</sup> , CH <sub>2</sub> Cl <sub>2</sub> .
RP-T	865 <sup>i</sup>	$\geq 2\ 000$ <sup>i, ii</sup>	--	--	--	--	+0.70 <sup>iii</sup>	-0.82 <sup>iii</sup>	70	<sup>i</sup> THF; <sup>ii</sup> estimated from graph; <sup>iii</sup> solid film, Fc/Fc <sup>+</sup> , CH <sub>3</sub> CN.
RP-BT	864 <sup>i</sup>	$\geq 250$ <sup>i, ii</sup>	--	--	--	--	--	--	70	<sup>i</sup> THF; <sup>ii</sup> estimated from graph.
RP-TT	857 <sup>i</sup>	$\geq 1\ 000$ <sup>i, ii</sup>	--	--	--	--	--	--	70	<sup>i</sup> THF; <sup>ii</sup> estimated from graph.

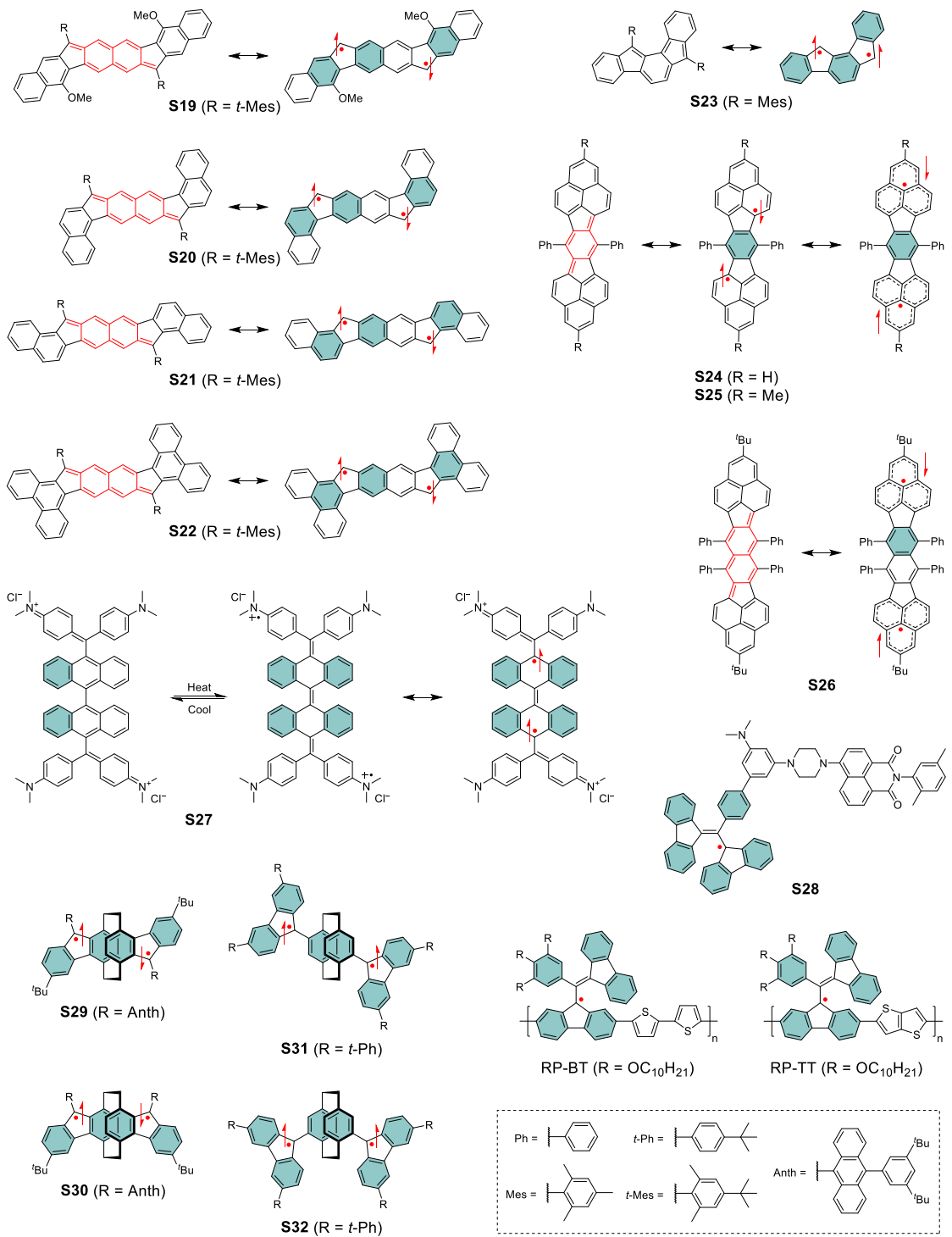
<sup>a</sup> Lowest-energy absorption peak wavelength. <sup>b</sup> Molar extinction coefficient at the peak wavelength.

<sup>c</sup> Photoluminescence peak wavelength. <sup>d</sup> Photoluminescence quantum yield. <sup>e</sup> Luminescence lifetime.

<sup>f</sup> Photostability (half-life of emission intensity). <sup>g</sup> Electrochemical oxidation potential. <sup>h</sup> Electrochemical reduction potential. Redox potentials are reported vs. ferrocene/ferrocenium (Fc/Fc<sup>+</sup>) or Ag/Ag<sup>+</sup> redox couple as obtained by cyclic voltammetry and noted in the table. Up to four redox reactions are reported for diradicals and polyradicals. If potential values were referenced to standard calomel electrode (SCE), conversion values of -0.46 (V vs. Fc/Fc<sup>+</sup> in CH<sub>2</sub>Cl<sub>2</sub>)<sup>71</sup> and -0.38 (V vs. Fc/Fc<sup>+</sup> in CH<sub>3</sub>CN)<sup>72</sup> were used, as noted in the table. All data have been obtained at room temperature, unless noted otherwise. Key: --, not reported; Cy, cyclohexane; Hex, hexane; Tol, toluene; EPA, diethyl ether/isopentane/ethanol 5:5:2 v/v; DMSO, dimethyl sulfoxide; DMF, *N,N*-dimethylformamide; THF, tetrahydrofuran; CBP, 4,4'-di(9*H*-carbazol-9-yl)-1,1'-biphenyl.



**Scheme S1** Chemical structures of additional  $\pi$ -radicals listed in Table S1.



**Scheme S2** Chemical structures of additional  $\pi$ -radicals, diradicals and polyyradicals listed in Table S1 (R groups are omitted from some resonance structures for clarity).

## References

1. Y. Hattori, T. Kusamoto and H. Nishihara, *Angewandte Chemie International Edition*, 2014, **53**, 11845-11848.
2. S. Dong, W. Xu, H. Guo, W. Yan, M. Zhang and F. Li, *Physical Chemistry Chemical Physics*, 2018, **20**, 18657-18662.
3. S. Kimura, A. Tanushi, T. Kusamoto, S. Kochi, T. Sato and H. Nishihara, *Chemical Science*, 2018, **9**, 1996-2007.
4. H. Guo, Q. Peng, X.-K. Chen, Q. Gu, S. Dong, E. W. Evans, A. J. Gillett, X. Ai, M. Zhang, D. Credgington, V. Coropceanu, R. H. Friend, J.-L. Brédas and F. Li, *Nature Materials*, 2019, **18**, 977-984.
5. M. A. Fox, E. Gaillard and C. C. Chen, *Journal of the American Chemical Society*, 1987, **109**, 7088-7094.
6. C.-H. Liu, E. Hamzehpoor, Y. Sakai-Otsuka, T. Jadhav and D. F. Perepichka, *Angewandte Chemie International Edition*, 2020, **59**, 23030-23034.
7. T. Kusamoto, S. Kimura, Y. Ogino, C. Ohde and H. Nishihara, *Chemistry – A European Journal*, 2016, **22**, 17725-17733.
8. S. Kimura, S. Kimura, K. Kato, Y. Teki, H. Nishihara and T. Kusamoto, *Chemical Science*, 2021, **12**, 2025-2029.
9. S. Kimura, M. Uejima, W. Ota, T. Sato, S. Kusaka, R. Matsuda, H. Nishihara and T. Kusamoto, *Journal of the American Chemical Society*, 2021, **143**, 4329-4338.
10. S. Kimura, R. Matsuoka, S. Kimura, H. Nishihara and T. Kusamoto, *Journal of the American Chemical Society*, 2021, **143**, 5610-5615.
11. X. Ai, Y. Chen, Y. Feng and F. Li, *Angewandte Chemie International Edition*, 2018, **57**, 2869-2873.
12. A. Abdurahman, Y. Chen, X. Ai, O. Ablikim, Y. Gao, S. Dong, B. Li, B. Yang, M. Zhang and F. Li, *Journal of Materials Chemistry C*, 2018, **6**, 11248-11254.
13. V. Gamero, D. Velasco, S. Latorre, F. López-Calaborda, E. Brillas and L. Juliá, *Tetrahedron Letters*, 2006, **47**, 2305-2309.
14. Q. Peng, A. Obolda, M. Zhang and F. Li, *Angewandte Chemie International Edition*, 2015, **54**, 7091-7095.
15. A. Abdurahman, T. J. H. Hele, Q. Gu, J. Zhang, Q. Peng, M. Zhang, R. H. Friend, F. Li and E. W. Evans, *Nature Materials*, 2020, **19**, 1224-1229.
16. S. Castellanos, D. Velasco, F. López-Calaborda, E. Brillas and L. Julia, *The Journal of Organic Chemistry*, 2008, **73**, 3759-3767.
17. S. Dong, A. Obolda, Q. Peng, Y. Zhang, S. Marder and F. Li, *Materials Chemistry Frontiers*, 2017, **1**, 2132-2135.
18. X. Ai, E. W. Evans, S. Dong, A. J. Gillett, H. Guo, Y. Chen, T. J. H. Hele, R. H. Friend and F. Li, *Nature*, 2018, **563**, 536-540.
19. A. Heckmann and C. Lambert, *Journal of the American Chemical Society*, 2007, **129**, 5515-5527.
20. A. Heckmann, S. Dümmler, J. Pauli, M. Margraf, J. Köhler, D. Stich, C. Lambert, I. Fischer and U. Resch-Genger, *The Journal of Physical Chemistry C*, 2009, **113**, 20958-20966.
21. S. Breimaier and R. F. Winter, *European Journal of Organic Chemistry*, 2021, **2021**, 4690-4700.
22. S. Mattiello, F. Corsini, S. Mecca, M. Sassi, R. Ruffo, G. Mattioli, Y. Hattori, T. Kusamoto, G. Griffini and L. Beverina, *Materials Advances*, 2021, **2**, 7369-7378.
23. A. Tanushi, S. Kimura, T. Kusamoto, M. Tominaga, Y. Kitagawa, M. Nakano and H. Nishihara, *The Journal of Physical Chemistry C*, 2019, **123**, 4417-4423.

24. L. Chen, M. Arnold, Y. Kittel, R. Blinder, F. Jelezko and A. J. C. Kuehne, *Advanced Optical Materials*, 2022, , 2102101.
25. Y. Hattori, E. Michail, A. Schmiedel, M. Moos, M. Holzapfel, I. Krummenacher, H. Braunschweig, U. Müller, J. Pflaum and C. Lambert, *Chemistry – A European Journal*, 2019, **25**, 15463-15471.
26. R. Matsuoka, S. Kimura and T. Kusamoto, *ChemPhotoChem*, 2021, **5**, 669-673.
27. Y. Hattori, S. Tsubaki, R. Matsuoka, T. Kusamoto, H. Nishihara and K. Uchida, *Chemistry – An Asian Journal*, 2021, **16**, 2538-2544.
28. C. Rovira, D. Ruiz-Molina, O. Elsner, J. Vidal-Gancedo, J. Bonvoisin, J.-P. Launay and J. Veciana, *Chemistry – A European Journal*, 2001, **7**, 240-250.
29. T. Nishiuchi, S. Aibara and T. Kubo, *Angewandte Chemie International Edition*, 2018, **57**, 16516-16519.
30. K. Ogawa, K. Komatsu and T. Kitagawa, *The Journal of Organic Chemistry*, 2011, **76**, 6095-6100.
31. D. T. Breslin and M. A. Fox, *The Journal of Physical Chemistry*, 1993, **97**, 13341-13347.
32. D. K. Frantz, J. J. Walish and T. M. Swager, *Organic Letters*, 2013, **15**, 4782-4785.
33. Y. Tian, K. Uchida, H. Kurata, Y. Hirao, T. Nishiuchi and T. Kubo, *Journal of the American Chemical Society*, 2014, **136**, 12784-12793.
34. H. Kalita, T. Y. Gopalakrishna and J. Wu, *Organic Letters*, 2018, **20**, 445-448.
35. T. Nishiuchi, D. Ishii, S. Aibara, H. Sato and T. Kubo, *Chemical Communications*, 2022, DOI: 10.1039/D2CC00548D.
36. R. C. Haddon, F. Wudl, M. L. Kaplan, J. H. Marshall, R. E. Cais and F. B. Bramwell, *Journal of the American Chemical Society*, 1978, **100**, 7629-7633.
37. D. Small, V. Zaitsev, Y. Jung, S. V. Rosokha, M. Head-Gordon and J. K. Kochi, *Journal of the American Chemical Society*, 2004, **126**, 13850-13858.
38. K. Goto, T. Kubo, K. Yamamoto, K. Nakasuji, K. Sato, D. Shiomi, T. Takui, M. Kubota, T. Kobayashi, K. Yakusi and J. Ouyang, *Journal of the American Chemical Society*, 1999, **121**, 1619-1620.
39. S. Suzuki, Y. Morita, K. Fukui, K. Sato, D. Shiomi, T. Takui and K. Nakasuji, *Journal of the American Chemical Society*, 2006, **128**, 2530-2531.
40. Z. Mou, K. Uchida, T. Kubo and M. Kertesz, *Journal of the American Chemical Society*, 2014, **136**, 18009-18022.
41. Y. Morita, S. Nishida, J. Kawai, K. Fukui, S. Nakazawa, K. Sato, D. Shiomi, T. Takui and K. Nakasuji, *Organic Letters*, 2002, **4**, 1985-1988.
42. S. Nishida, K. Kariyazono, A. Yamanaka, K. Fukui, K. Sato, T. Takui, K. Nakasuji and Y. Morita, *Chemistry – An Asian Journal*, 2011, **6**, 1188-1196.
43. S. Nishida, J. Kawai, M. Moriguchi, T. Ohba, N. Haneda, K. Fukui, A. Fuyuhiko, D. Shiomi, K. Sato, T. Takui, K. Nakasuji and Y. Morita, *Chemistry – A European Journal*, 2013, **19**, 11904-11915.
44. A. Ueda, H. Wasa, S. Nishida, Y. Kanzaki, K. Sato, D. Shiomi, T. Takui and Y. Morita, *Chemistry – A European Journal*, 2012, **18**, 16272-16276.
45. Y. Ikabata, Q. Wang, T. Yoshikawa, A. Ueda, T. Murata, K. Kariyazono, M. Moriguchi, H. Okamoto, Y. Morita and H. Nakai, *npj Quantum Materials*, 2017, **2**, 27.
46. T. Murata, Y. Yamamoto, A. Ueda, T. Ise, D. Shiomi, K. Sato, T. Takui and Y. Morita, *The Journal of Organic Chemistry*, 2021, **86**, 10154-10165.
47. T. Kubo, Y. Katada, A. Shimizu, Y. Hirao, K. Sato, T. Takui, M. Uruichi, K. Yakushi and R. C. Haddon, *Journal of the American Chemical Society*, 2011, **133**, 14240-14243.
48. T. Kodama, M. Aoba, Y. Hirao, S. M. Rivero, J. Casado and T. Kubo, *Angewandte Chemie International Edition*, 2022, DOI: 10.1002/anie.202200688, e202200688.

49. G. E. Rudebusch, J. L. Zafra, K. Jorner, K. Fukuda, J. L. Marshall, I. Arrechea-Marcos, G. L. Espejo, R. Ponce Ortiz, C. J. Gómez-García, L. N. Zakharov, M. Nakano, H. Ottosson, J. Casado and M. M. Haley, *Nature Chemistry*, 2016, **8**, 753-759.
50. A. Shimizu and Y. Tobe, *Angewandte Chemie International Edition*, 2011, **50**, 6906-6910.
51. H. Miyoshi, S. Nobusue, A. Shimizu, I. Hisaki, M. Miyata and Y. Tobe, *Chemical Science*, 2014, **5**, 163-168.
52. A. Shimizu, R. Kishi, M. Nakano, D. Shiomi, K. Sato, T. Takui, I. Hisaki, M. Miyata and Y. Tobe, *Angewandte Chemie International Edition*, 2013, **52**, 6076-6079.
53. Z.-Y. Wang, Y.-Z. Dai, L. Ding, B.-W. Dong, S.-D. Jiang, J.-Y. Wang and J. Pei, *Angewandte Chemie International Edition*, 2021, **60**, 4594-4598.
54. W. Zeng and J. Wu, *Materials Chemistry Frontiers*, 2019, **3**, 2668-2672.
55. Z. Zeng, Y. M. Sung, N. Bao, D. Tan, R. Lee, J. L. Zafra, B. S. Lee, M. Ishida, J. Ding, J. T. López Navarrete, Y. Li, W. Zeng, D. Kim, K.-W. Huang, R. D. Webster, J. Casado and J. Wu, *Journal of the American Chemical Society*, 2012, **134**, 14513-14525.
56. M. A. Majewski, P. J. Chmielewski, A. Chien, Y. Hong, T. Lis, M. Witwicki, D. Kim, P. M. Zimmerman and M. Stępień, *Chemical Science*, 2019, **10**, 3413-3420.
57. Y. Hamamoto, Y. Hirao and T. Kubo, *The Journal of Physical Chemistry Letters*, 2021, **12**, 4729-4734.
58. H. Hayashi, J. E. Barker, A. Cárdenas Valdivia, R. Kishi, S. N. MacMillan, C. J. Gómez-García, H. Miyauchi, Y. Nakamura, M. Nakano, S.-i. Kato, M. M. Haley and J. Casado, *Journal of the American Chemical Society*, 2020, **142**, 20444-20455.
59. J. J. Dressler, Z. Zhou, J. L. Marshall, R. Kishi, S. Takamuku, Z. Wei, S. N. Spisak, M. Nakano, M. A. Petrukhina and M. M. Haley, *Angewandte Chemie International Edition*, 2017, **56**, 15363-15367.
60. T. Kubo, A. Shimizu, M. Sakamoto, M. Uruichi, K. Yakushi, M. Nakano, D. Shiomi, K. Sato, T. Takui, Y. Morita and K. Nakasuji, *Angewandte Chemie International Edition*, 2005, **44**, 6564-6568.
61. A. Shimizu, M. Uruichi, K. Yakushi, H. Matsuzaki, H. Okamoto, M. Nakano, Y. Hirao, K. Matsumoto, H. Kurata and T. Kubo, *Angewandte Chemie International Edition*, 2009, **48**, 5482-5486.
62. T. Kubo, A. Shimizu, M. Uruichi, K. Yakushi, M. Nakano, D. Shiomi, K. Sato, T. Takui, Y. Morita and K. Nakasuji, *Organic Letters*, 2007, **9**, 81-84.
63. C. Jiang, Y. Bang, X. Wang, X. Lu, Z. Lim, H. Wei, S. El-Hankari, J. Wu and Z. Zeng, *Chemical Communications*, 2018, **54**, 2389-2392.
64. H. Han, D. Zhang, Z. Zhu, R. Wei, X. Xiao, X. Wang, Y. Liu, Y. Ma and D. Zhao, *Journal of the American Chemical Society*, 2021, **143**, 17690-17700.
65. D. Reitzenstein, T. Quast, F. Kanal, M. Kullmann, S. Ruetzel, M. S. Hammer, C. Deibel, V. Dyakonov, T. Brixner and C. Lambert, *Chemistry of Materials*, 2010, **22**, 6641-6655.
66. A. Abdurahman, Q. Peng, O. Ablikim, X. Ai and F. Li, *Materials Horizons*, 2019, **6**, 1265-1270.
67. X. Lu, S. Lee, J. O. Kim, T. Y. Gopalakrishna, H. Phan, T. S. Herng, Z. Lim, Z. Zeng, J. Ding, D. Kim and J. Wu, *Journal of the American Chemical Society*, 2016, **138**, 13048-13058.
68. X. Lu, S. Lee, Y. Hong, H. Phan, T. Y. Gopalakrishna, T. S. Herng, T. Tanaka, M. E. Sandoval-Salinas, W. Zeng, J. Ding, D. Casanova, A. Osuka, D. Kim and J. Wu, *Journal of the American Chemical Society*, 2017, **139**, 13173-13183.

69. B. Prajapati, D.-K. Dang, P. J. Chmielewski, M. A. Majewski, T. Lis, C. J. Gómez-García, P. M. Zimmerman and M. Stępień, *Angewandte Chemie International Edition*, 2021, **60**, 22496-22504.
70. P. Wang, S. Lin, Z. Lin, M. D. Peeks, T. Van Voorhis and T. M. Swager, *Journal of the American Chemical Society*, 2018, **140**, 10881-10889.
71. C. M. Cardona, W. Li, A. E. Kaifer, D. Stockdale and G. C. Bazan, *Advanced Materials*, 2011, **23**, 2367-2371.
72. V. V. Pavlishchuk and A. W. Addison, *Inorganica Chimica Acta*, 2000, **298**, 97-102.